

Fig. 4: Testes - Dados Treino

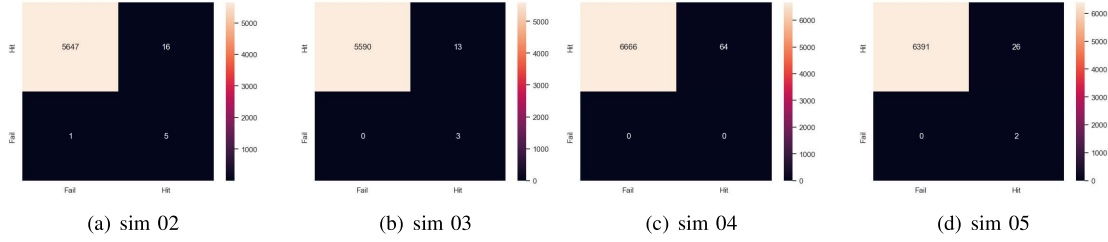


Fig. 5: Generalização - 01 Longo

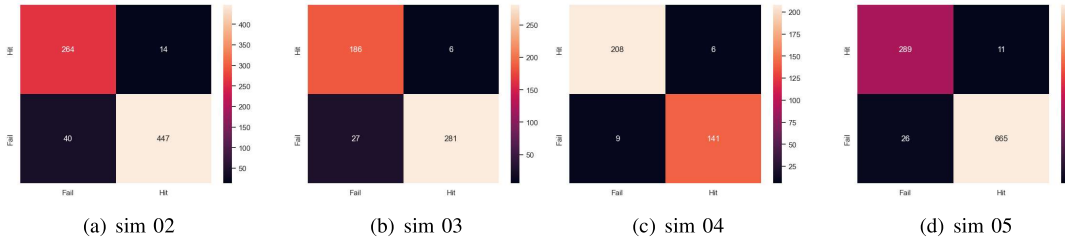


Fig. 6: Generalização - 10 Longo

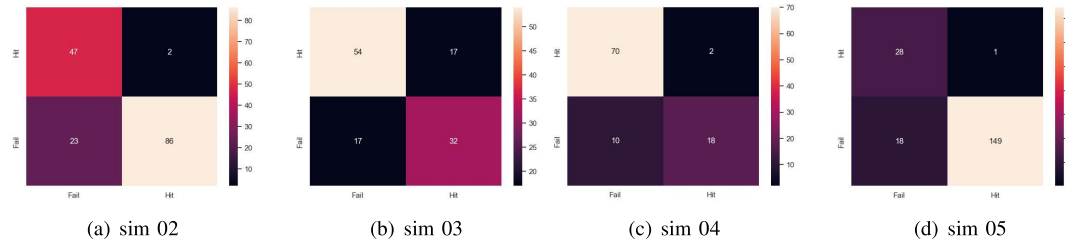


Fig. 7: Generalização - 20 Longos

TABELA I: Eficiência dos Modelos Gerados - Dados Treino

Fluxos Longos	Acerto (%)
1	99%
10	95%
20	94%

TABELA II: Eficiência dos Modelos Gerados - Dados não treino

Fluxos Longos	Simulação	Acerto (%)
1	sim02	99,68%
	sim03	99,76%
	sim04	99,05%
	sim05	99,59%
10	sim02	92,94%
	sim03	93,40%
	sim04	95,88%
	sim05	96,27%
20	sim02	94,23%
	sim03	84,18%
	sim04	71,67%
	sim05	88,00%

proposta. A rede Neural apresentada é bem simples e foi treinada com um número bem modesto de épocas. Obviamente, as topologias trabalhadas trazem uma quantidade de terminais limitada, abrindo espaço para busca de modelos mais gerais, eficientes em ambientes mais complexos.

REFERÊNCIAS

- [1] “Global Connectivity Report 2022.” [Online]. Available: <https://www.itu.int/itu-d/reports/statistics/2022/05/29/gcr-chapter-1>
- [2] I. Goodfellow, Y. Bengio, and A. Courville, *Deep Learning*. MIT Press, Nov. 2016.
- [3] M. Hinago and F. P. Piurcosky, “A capacitação no projeto SISFRON: as lições aprendidas do projeto piloto e as perspectivas para o prosseguimento das próximas fases.” pp. 285–320, Dec. 2021. [Online]. Available: <https://ojs.ufgd.edu.br/index.php/moncoes/article/view/14387>
- [4] B. Singh, “A Comparative Study of Different TCP Variants in